

# Computação Gráfica I - MAB122 (2020-1)

Professor: João Vitor de Oliveira Silva

## LISTA

Você deve fazer 5 das 7 questões a seguir. Pode também ser realizado em duplas.

1. Considere os seguintes algoritmos:

---

**Algoritmo 1:**

---

**Entrada:** IMAGE imagem[width, height], SCENE cena, CAMERA cam

**Variável:** RAY raio, OBJECT3D objeto, OBJECT3D obj\_closest, FLOAT  $t_{hit}$ ,  
FLOAT  $t_{closest}$ , PIXEL pixel

**início**

**para cada pixel em imagem faça**

        raio = cam.GENERATERAYTO(pixel.x, pixel.y)

$t_{closest} = +\infty$

        obj\_closest = null

**para cada objeto em cena faça**

**se** raio.INTERSECT(objeto) **então**

$t_{hit} = \text{raio.GETINTERSECTIONHITTIME}()$

**se**  $t_{hit} < t_{closest}$  **e**  $t_{hit} \geq 0$  **então**

$t_{closest} = t_{hit}$

                    obj\_closest = objeto

**fim**

**fim**

**fim**

**se** obj\_closest  $\neq$  null **então**

        imagem[pixel.y, pixel.x] = COMPUTECOLOR(objeto,  $t_{closest}$ )

**fim**

**fim**

**fim**

---

---

**Algoritmo 2:**

---

**Entrada:** IMAGE imagem[width, height], SCENE cena, CAMERA cam

**Variável:** OBJECT3D objeto, PIXEL pixel, OBJECT2D objeto\_proj

**início**

**para cada pixel em imagem faça**

    | depth[pixel.y, pixel.x] =  $+\infty$

**fim**

**para cada objeto em cena faça**

    objeto\_proj = cam.PROJECT(objeto)

**para cada pixel em imagem faça**

      | **se** pixel.inside(objeto\_proj) **então**

        | imagem[pixel.y, pixel.x] = COMPUTERCOLOR(objeto\_proj, pixel,  
  depth)

**fim**

**fim**

**fim**

**fim**

---

Estes algoritmos são versões bastante simplificadas de algoritmos famosos de renderização. Nomeie cada um deles, explique o funcionamento de ambos e indique suas diferenças.

2. Um filtro de imagens famoso, chamado de máscara de nitidez (em inglês, *unsharp masking*), tem um efeito contrário ao de borramento. O mesmo torna a obra mais nítida, realçando as bordas. Seu cálculo segue o seguinte princípio:

- (i) Aplique um filtro de borramento sobre sua imagem  $I$ , obtendo uma imagem  $I_{\text{blur}}$ :

$$I_{\text{blur}} = G * I$$

Aqui, vamos considerar  $G$  como o filtro Gaussiano  $3 \times 3$ , ou seja

$$G = \frac{1}{16} \begin{bmatrix} 1 & 2 & 1 \\ 2 & 4 & 2 \\ 1 & 2 & 1 \end{bmatrix}$$

- (ii) Subtraia a imagem borrada  $I_{\text{blur}}$  da imagem original  $I$ . O resultado dessa diferença é chamada da máscara.

$$I_{\text{mask}} = I - I_{\text{blur}}$$

- (iii) Adicione a máscara sobre a imagem original (com um peso  $0 \leq \alpha \leq 1$ ):

$$I_{\text{sharp}} = I + \alpha I_{\text{mask}}$$

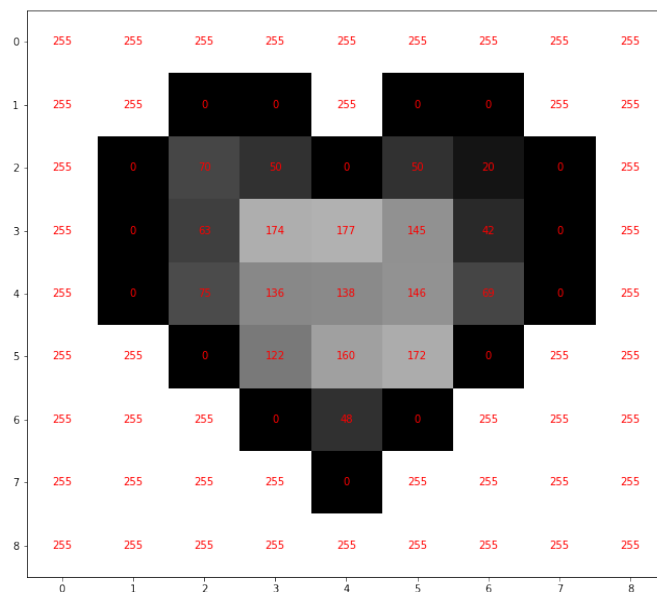
Um exemplo de aplicação deste filtro pode ser configurado na Figura 1.



Figura 1: Exemplo do filtro máscara de nitidez: no topo a imagem original, no meio o resultado para um  $\alpha_1$ , na parte de baixo o resultado para  $\alpha_2 > \alpha_1$ .

A respeito desse filtro, pede-se que faça:

- a) Usando  $\alpha = \frac{1}{4}$ , aplique este filtro na imagem a seguir:



*Há um arquivo .csv no Google Classroom com os dados da imagem.*

- b) Deduza a matriz  $S_\alpha$  associada a este filtro, ou seja, que faz diretamente

$$I_{\text{sharp}} = S_\alpha * I$$

3. Considere o braço mecânico tridimensional abaixo, composto de três partes: antebraço, braço e mão. Usando transformações locais e mudança de referenciais, determine as coordenadas do ponto  $\mathbf{p}$  no referencial global.

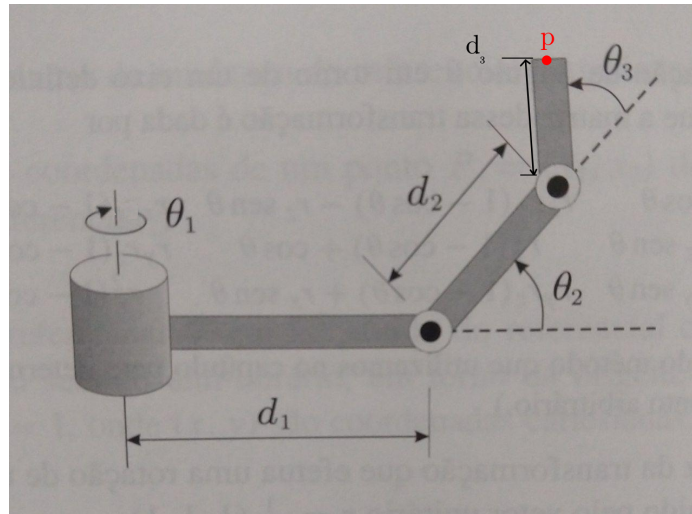


Figura 2: Braço mecânico tridimensional.

4. No ThreeJS, todos os objetos são descritos por uma **position**, um **quaternion** e uma **scale**. A cada transformação que um objeto sofre, o mesmo executa um método **updateMatrix** que atualiza a matriz de transformação do objeto com um método chamado **compose**. Veja abaixo a implementação em código deste método:

```
compose( position, quaternion, scale ) {
    // te is an array containing the matrix values
    const te = this.elements;
    // getting some values
    const x = quaternion._x, y = quaternion._y, z = quaternion._z;
    const w = quaternion._w;
    const x2 = x + x, y2 = y + y, z2 = z + z;
    const xx = x * x2, xy = x * y2, xz = x * z2;
    const yy = y * y2, yz = y * z2, zz = z * z2;
    const wx = w * x2, wy = w * y2, wz = w * z2;
    const sx = scale.x, sy = scale.y, sz = scale.z;
    // Assigning the first column
    te[ 0 ] = ( 1 - ( yy + zz ) ) * sx;
    te[ 1 ] = ( xy + wz ) * sx;
    te[ 2 ] = ( xz - wy ) * sx;
    te[ 3 ] = 0;
    // Assigning the second column
    te[ 4 ] = ( xy - wz ) * sy;
```

```

    te[ 5 ] = ( 1 - ( xx + zz ) ) * sy;
    te[ 6 ] = ( yz + wx ) * sy;
    te[ 7 ] = 0;
    // Assigning the third column
    te[ 8 ] = ( xz + wy ) * sz;
    te[ 9 ] = ( yz - wx ) * sz;
    te[ 10 ] = ( 1 - ( xx + yy ) ) * sz;
    te[ 11 ] = 0;
    // Assigning the fourth column
    te[ 12 ] = position.x;
    te[ 13 ] = position.y;
    te[ 14 ] = position.z;
    te[ 15 ] = 1;
}

```

Explique o funcionamento dessa função, destacando o significado das atribuições realizadas. *Lembre-se que internamente o ThreeJS armazena as matrizes de forma column-major.*

5. Nessa questão, iremos realizar todas as etapas estudadas do pipeline gráfico. Suponha que temos o ponto  $\mathbf{q}_{local} = [1, 2, 0, 1]^T$  em coordenadas locais.

- a) Obtenha as coordenadas globais  $\mathbf{q}_{global}$ , considerando que a *model matrix* é dada pela sequência das seguintes transformações:
  - i. Escalonamento em  $x$  de 2 unidades.
  - ii. Rotação em torno do eixo  $y$  de  $30^\circ$ .
  - iii. Reflexão em torno do espelho  $\mathbf{n} = [0, 1, 0]^T$ .
  - iv. Rotação em torno do eixo  $x$  de  $45^\circ$ .
- b) Obtenha as coordenadas no referencial da câmera do ponto, ou seja,  $\mathbf{q}_{camera}$ . A câmera virtual está posicionada em  $\mathbf{p}_{from} = [5, 10, 5, 1]^T$ , apontada para  $\mathbf{p}_{to} = [0, 0, 0, 1]^T$ .
- c) Encontre as coordenadas no *clipping space* do ponto  $\mathbf{q}_{clip}$ , usando que a câmera virtual realiza projeção perspectiva com os seguintes parâmetros:
  - fov:  $90^\circ$
  - aspect:  $\frac{16}{9}$
  - near: 1
  - far: 50

Diga também se o ponto é visível ou não pela câmera.

- d) Caso o ponto seja visível, realize a etapa de divisão perspectiva, encontrando as coordenadas do ponto no espaço normalizado  $\mathbf{q}_{ndc}$ .

- e) Caso o ponto seja visível, usando que a largura  $w$  é igual a 960 e que a altura  $h$  é igual a 540, obtenha as coordenadas do ponto no espaço de tela (*screen space*). Para realizar este procedimento, faça

$$\begin{bmatrix} x_s \\ y_s \end{bmatrix} = \begin{bmatrix} \frac{w}{2}(1 + x_{ndc}) \\ \frac{h}{2}(1 + y_{ndc}) \end{bmatrix}.$$

6. Considere um caminho (*path*) descrito por 2 segmentos de Bézier cúbicos bidimensionais. Os pontos de controle são  $\mathbf{p}_1 = [10, -6, 1]$ ,  $\mathbf{p}_2 = [4, -10, 1]$ ,  $\mathbf{p}_3 = [5, -2, 1]$ ,  $\mathbf{p}_4 = [10, 0, 1]$ ,  $\mathbf{p}_5 = [15, -2, 1]$ ,  $\mathbf{p}_6 = [16, -10, 1]$ ,  $\mathbf{p}_7 = \mathbf{p}_1$ .
- Usando o algoritmo de Casteljau, indique os pontos associados a  $t = 0.3$  no primeiro segmento e  $t = 0.6$  no segundo segmento.
  - Faça um esboço deste caminho Bézier (ou gere um gráfico em seu computador).
7. Considere um cilindro centrado no eixo  $z$ , de altura  $h$  e raio  $r$ . Suponha que desejamos mapear uma textura de dimensões  $256 \times 256$  quatro vezes ao longo do cilindro, como indicado na Figura 3:

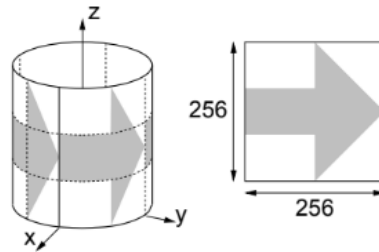


Figura 3: Cilindro e textura.

Pede-se que faça:

- Escreva uma parametrização do cilindro. Não esqueça de indicar os intervalos dos parâmetros  $(u, v)$ .
- Encontre o mapeamento paramétrico inverso.
- Encontre a relação entre as coordenadas  $(u, v)$  e as coordenadas normalizadas de textura  $(s, t)$ .
- Sabendo  $(s, t)$ , indique como obter o texel correspondente desta imagem  $256 \times 256$ .